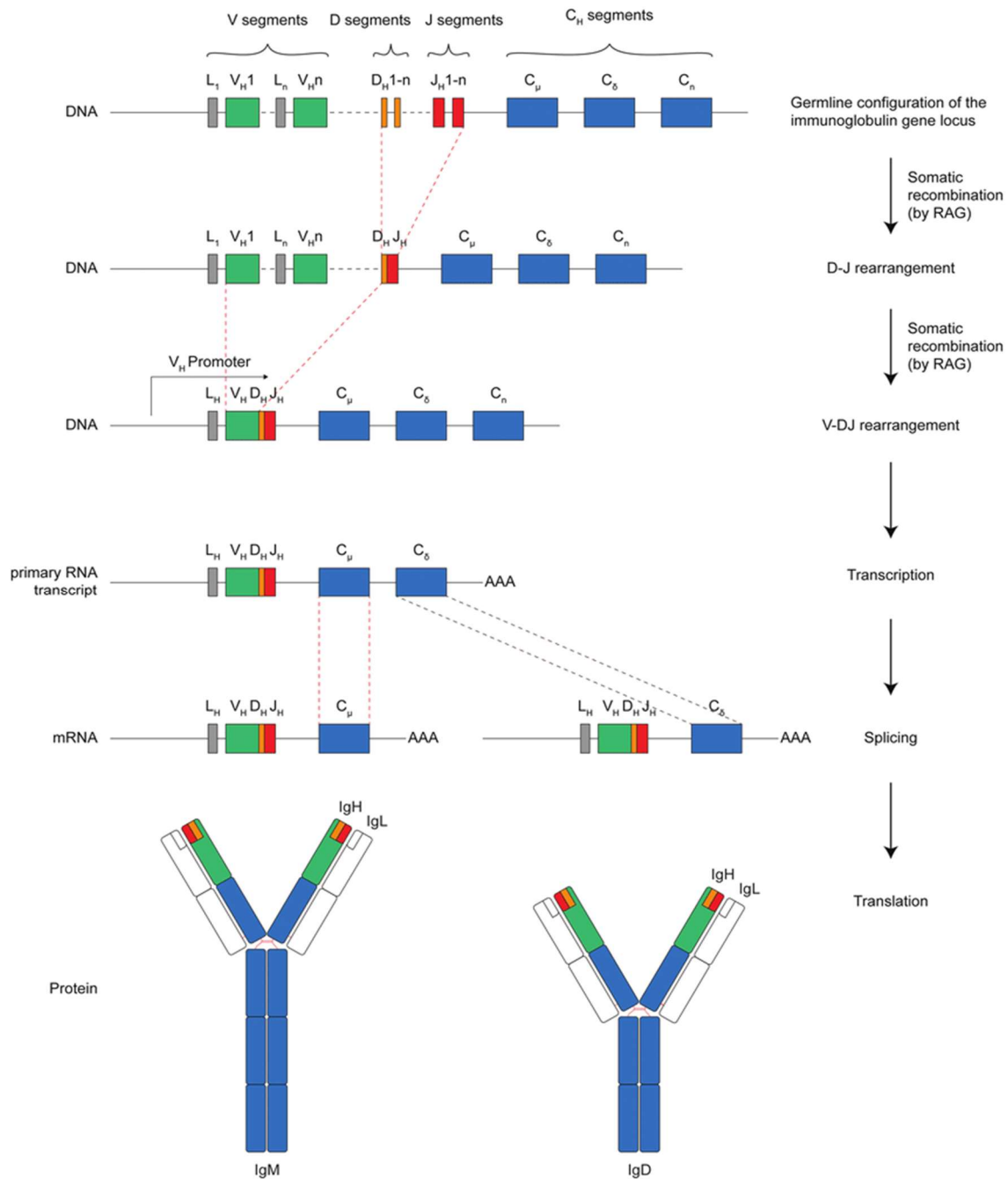
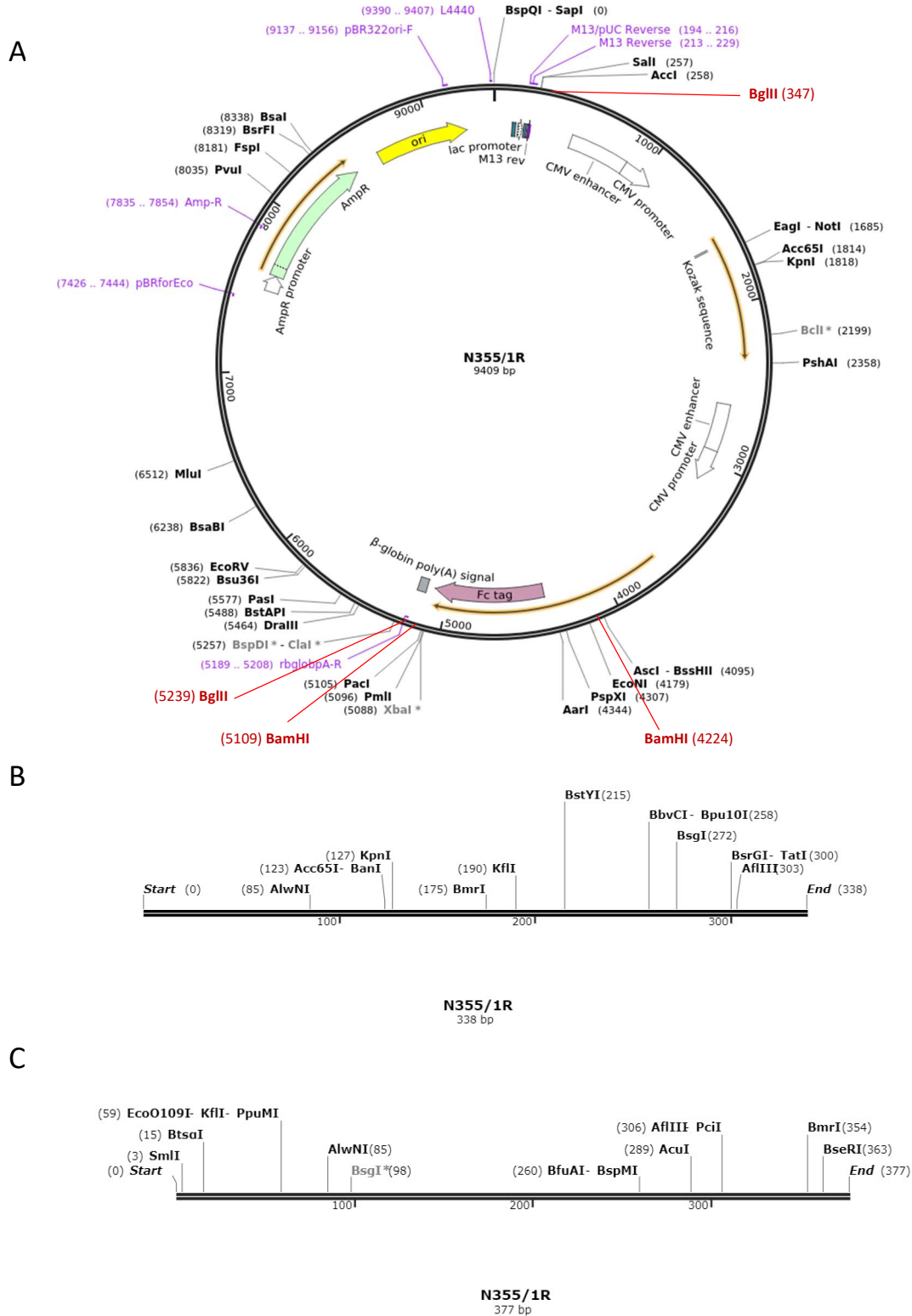


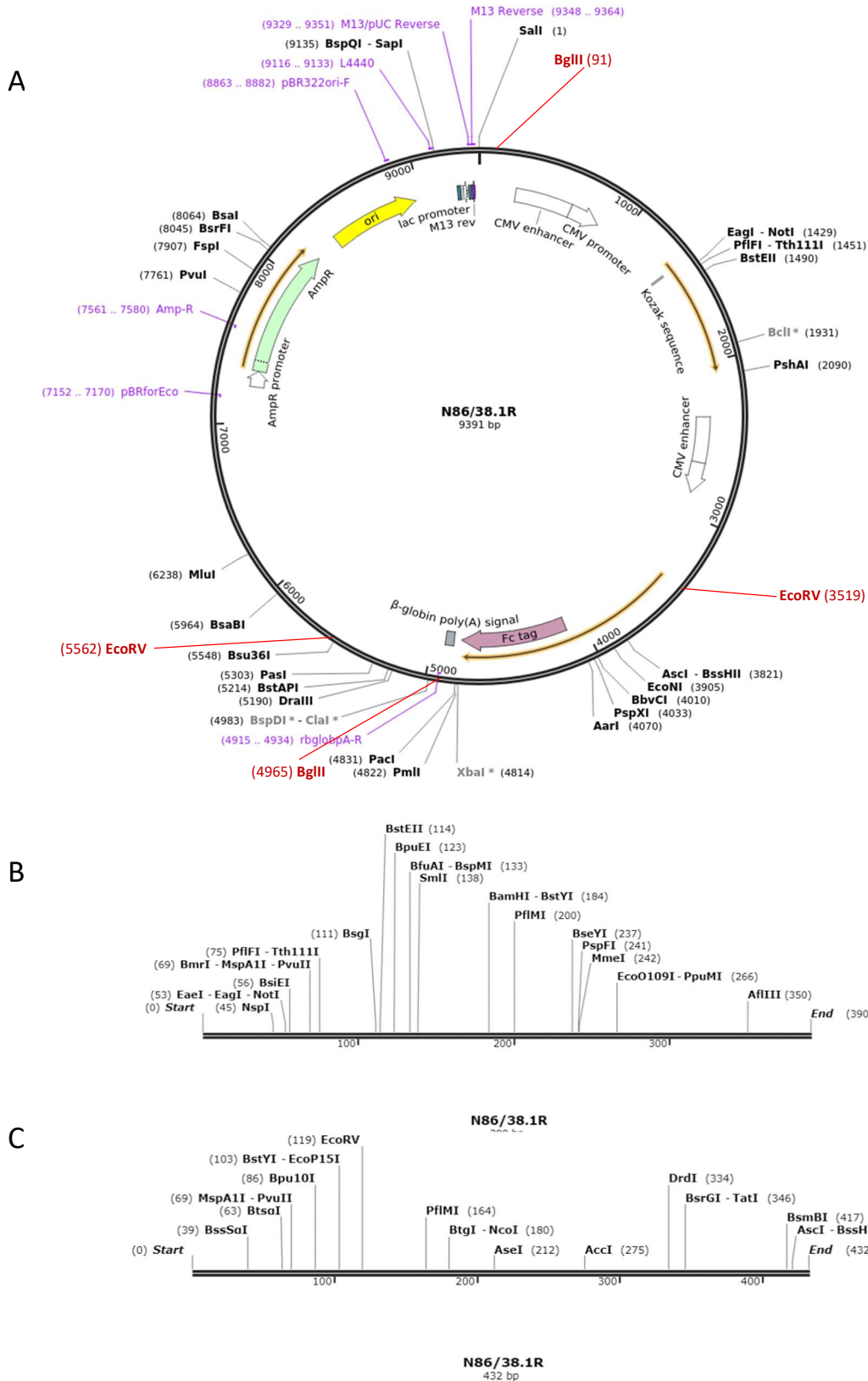
## 8. ANEXO



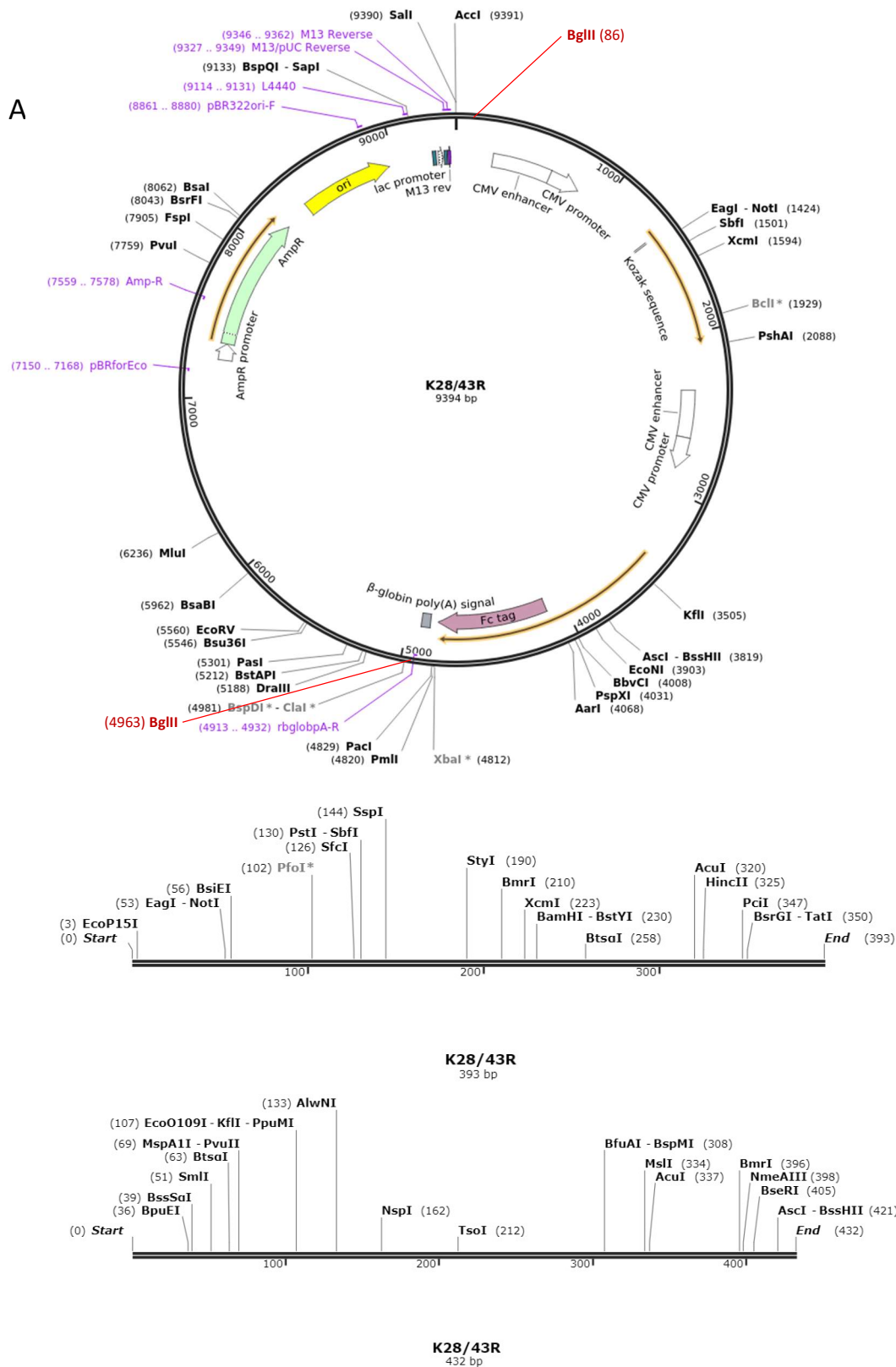
**Figura suplementaria 1. Esquema de la recombinación V(D)J en las cadenas pesadas de las inmunoglobulinas a partir de segmentos génicos del linfocito B germinal.** El locus de una inmunoglobulina está organizado en diferentes segmentos: segmento génico variable (V), de diversidad (D), de unión (J) y constante (C). La región variable comprende los segmentos génicos V, D y J se genera por recombinación aleatoria de estas secuencias. L = secuencia líder. Las recombinaciones somáticas se dan gracias a la acción de genes activadores de recombinación (RAG), que codifican los enzimas RAG-1 y RAG-2, los cuales separan, mezclan y vuelven a unir los genes VDJ. Las diferentes combinaciones de VDJ pueden dar lugar hasta a  $10^9$  clones de células B diferentes (BACKHAUS, 2018).



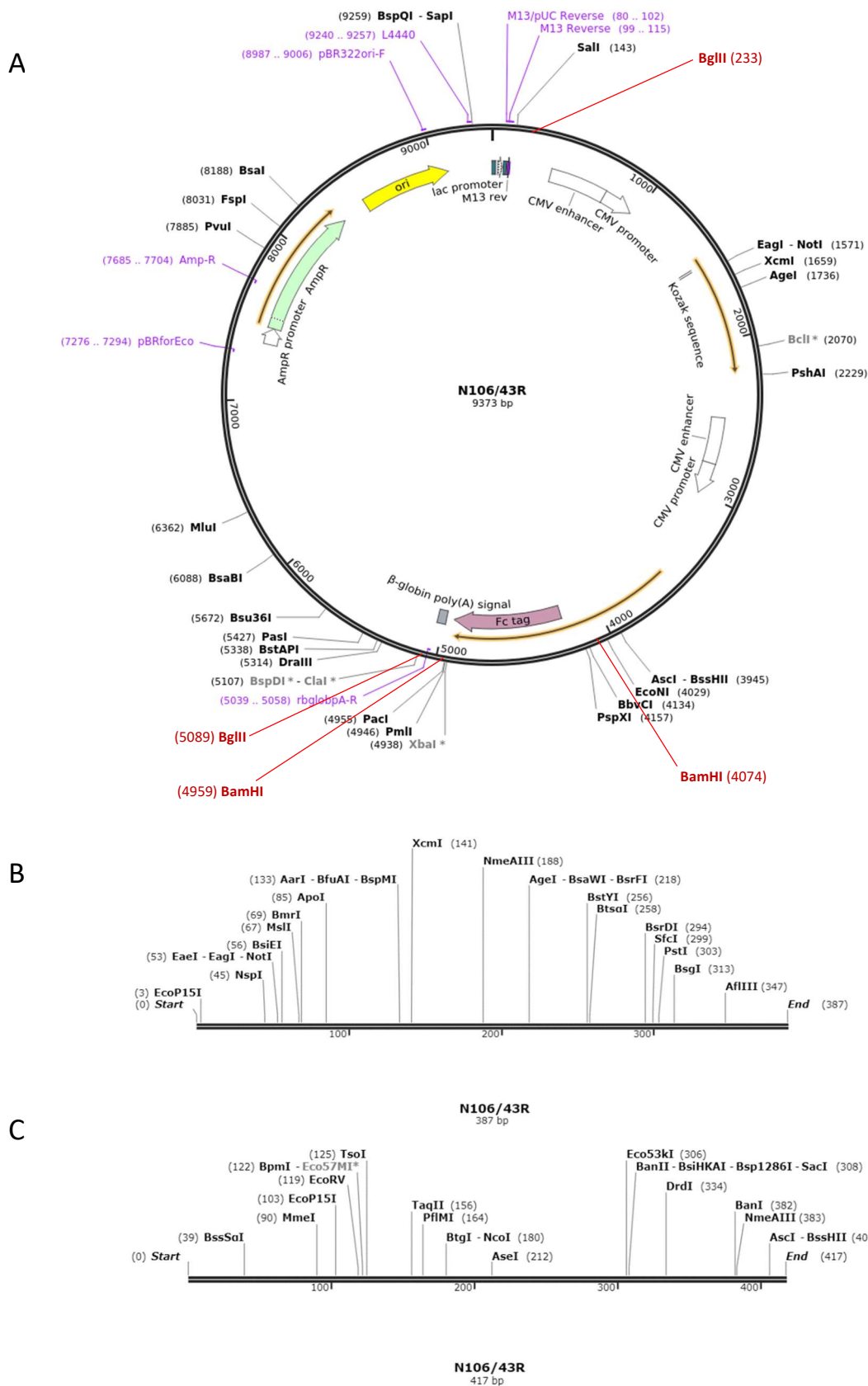
**Figura suplementaria 2.** A) Esquema de los elementos del plásmido de expresión del anticuerpo anti-GluR1. Se destacan en rojo los enzimas utilizados y sus sitios de corte. B) ORF1: inserto correspondiente al dominio variable de la cadena ligera. C) ORF2: inserto correspondiente al dominio variable de la cadena pesada. Figura adaptada de Addgene (<http://n2t.net/addgene:114483>; RRID: Addgene\_114483).



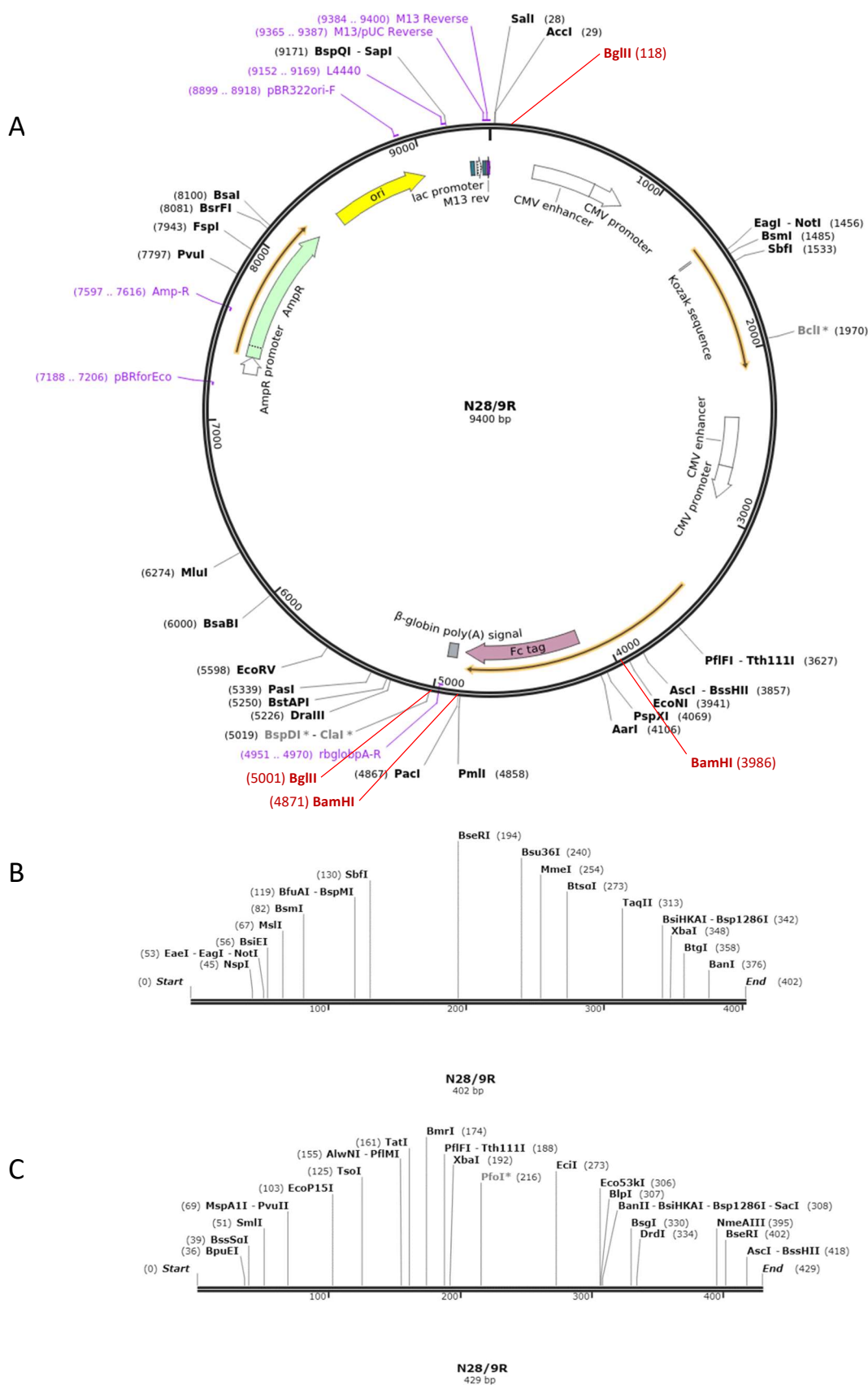
**Figura suplementaria 3.** A) Esquema de los elementos del plásmido de expresión del anticuerpo anti-GFP. Se destacan en rojo los enzimas utilizados y sus sitios de corte. B) ORF1: inserto correspondiente al dominio variable de la cadena ligera. C) ORF2: inserto correspondiente al dominio variable de la cadena pesada. Figura adaptada de Addgene (<http://n2t.net/addgene:114492>; RRID: Addgene\_114492).



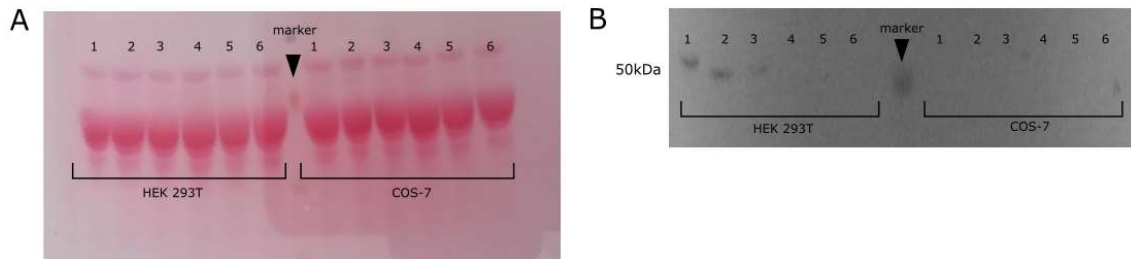
**Figura suplementaria 4.** A) Esquema de los elementos del plásmido de expresión del anticuerpo anti-PSD-95. Se destaca en rojo el enzimas utilizado y sus sitios de corte. B) ORF1: inserto correspondiente al dominio variable de la cadena ligera. C) ORF2: inserto correspondiente al dominio variable de la cadena pesada. Figura adaptada de Addgene (<http://n2t.net/addgene:128618>; RRID: Addgene\_128618).



**Figura suplementaria 5.** A) Esquema de los elementos del plásmido de expresión del anticuerpo anti-Ank-G. Se destacan en rojo los enzimas utilizados y sus sitios de corte. B) ORF1: inserto correspondiente al dominio variable de la cadena ligera. C) ORF2: inserto correspondiente al dominio variable de la cadena pesada. Figura adaptada de Addgene (<http://n2t.net/addgene:128635>; RRID: Addgene\_128635).



**Figura suplementaria 6.** A) Esquema de los elementos del plásmido de expresión del anticuerpo anti-VGluT1. Se destacan en rojo los enzimas utilizados y sus sitios de corte B) ORF1: inserto correspondiente al dominio variable de la cadena ligera. C) ORF2: inserto correspondiente al dominio variable de la cadena pesada. Figura adaptada de Addgene (<http://n2t.net/addgene:128638>; RRID: Addgene\_128638).



**Figura suplementaria 7. Análisis mediante Western blot de la expresión de los anticuerpos recombinantes en las líneas celulares HEK 293T y COS-7.** Tras realizar una SDS-PAGE con los distintos sobrenadantes, se transfirieron las proteínas a una membrana de PVDF. A) Tinción inespecífica con rojo Ponceau S de la membrana que contiene las proteínas del sobrenadante de ambas líneas celulares. Se pueden observar la totalidad de proteínas transferidas electroforéticamente. B) Membrana de PVDF después de ser incubada con anticuerpo secundario anti-ratón marcado con HRP a dilución 1:2000. 1: anti-GluR1; 2: anti-GFP; 3: anti-PSD-95; 4: anti-Ank-G; 5: anti-VGluT1, 6: GFP. Se observan bandas a aproximadamente 50 kDa en los pocillos 1,2 y 3 del sobrenadante de las células HEK 293T, que corresponde al peso molecular de una cadena pesada de un anticuerpo.